

Algorithmus zum Graphen-Matching

und

Anwendung zur inhaltsbasierten Bildersuche

von Martin Junghans

auf Grundlage einer Arbeit von Adel Hlaoui, Shengrui Wang [HW02b]

Gliederung

1. Einführung

2. Algorithmus

- Beschreibung
- Beispiel
- Laufzeit

3. Anwendung des Algorithmus

1. Einführung

- Ziel ist Finden und Kategorisieren von Bildern, basierend auf Bildinhalt
- Graphen können den Inhalt von Bildern repräsentieren
- Um Ähnlichkeiten zwischen Graphen/Bildern zu ermitteln, wird ein effizienter Graphen-Matching-Algorithmus benötigt

Graph G

Tupel $G=(V, E, \mu, \nu)$ mit:

V Knotenmenge,

$E \subseteq V \times V$ Kantenmenge,

$\mu: V \rightarrow \mathbb{R}$ Knotengewichtung und

$\nu: E \rightarrow \mathbb{R}$ Kantengewichtung

Graphen-Matching

- Berechnung der Ähnlichkeit zweier Graphen
- Gesucht wird ein (Teil-) Graph-Isomorphismus

Graph-Isomorphismus

Ist jede Bijektion $b: V_1 \rightarrow V_2$, die einen Graph G_1 in einen Graph G_2 transformiert und umgekehrt, d.h. Verbindungen von Knoten durch Kanten bleiben erhalten.

Teilgraph-Isomorphismus („Graph-Matching“)

Man wählt einen Teilgraphen $G_3 \subseteq G_2$ so, dass $|V_1| = |V_3|$ und ein Graph-Isomorphismus zu G_1, G_3 existiert.

Matching-Fehler

Benötigt eine Abstandsfunktion $d: (V_1 \times V_2) \cup (E_1 \times E_2) \rightarrow \mathbb{R}$, die Unterschiede von aufeinander abgebildeten Knoten und der entsprechend aufeinander abgebildeten Kanten bzgl. des Graph-Matchings bestimmt.

Im folgenden Beispiel bestimmt sich der Abstand wie folgt:

- Abstand/Unterschied von aufeinander abgebildeten Knoten

$$\forall i \in V_1 \quad \forall j \in V_2: b(i) = j \Rightarrow$$

$$d(\mu_1(i), \mu_2(j)) = |\mu_1(i) - \mu_2(j)|$$

- Abstand/Unterschied von aufeinander abgebildeten Kanten

$$\forall (i, i') \in E_1 \quad \forall (j, j') \in E_2: b(i) = j \wedge b(i') = j' \Rightarrow$$

$$d(\nu_1((i, i')), \nu_2((j, j'))) = |\nu_1((i, i')) - \nu_2((j, j'))|$$

2. Neuer Graphen-Matching-Algorithmus [HW02a]

gegeben: 2 Graphen G_1, G_2

gesucht: Graphen-Isomorphismus,
mit geringstem Matching-Fehler

Annahme: gute Knotenabbildungen bilden ähnliche Knoten
aufeinander ab

bisherige Graphen-Matching-Algorithmen

- Kombinatorischen Explosion der zu prüfenden Matchings
- Nur anwendbar bis ca. 10 Knoten

Grundidee

- Matching-Prozess wird in Phasen unterteilt
- iteratives Erkunden vielversprechender Knotenabbildungen und Auswahl der besten Abbildung nach jeder Iteration (durch minimalen Matching-Fehler)
- geringe Anzahl von Phasen beschränkt den Suchraum
- findet effizient sehr gute (meist optimale) Graphen-Matchings

Neuer Graphen-Matching-Algorithmus

- 1. Phase: beste Abbildung bzgl. des Matching-Fehlers der Knoten wählen
- 2. Phase: Abbildungen bestimmen, die mindestens einen Knoten mit zweit-kleinsten Matching-Fehler enthalten
- \vdots
- K. Phase: analog

- Jede Abbildung wird auf Bijektivität geprüft
- Falls Matching-Fehler minimal, wird Bijektion gespeichert
- Ergebnis ist die Bijektion mit geringsten Matching-Fehler

$$n = |V_1|, \quad m = |V_2| \quad (\text{o.B.d.A. sei } n \leq m)$$

$n \times m$ -Matrix $P = (p_{ij})$

enthält Unterschiede $p_{ij} = d(\mu_1(i), \mu_2(j))$
der Knoten $i \in V_1$ und $j \in V_2$

$n \times m$ -Matrix $B = (b_{ij})$

enthält alle bisher untersuchten Knotenabbildungen,
markiert durch $b_{ij} = 1$, sonst $b_{ij} = 0$

$n \times m$ -Hilfsmatrix B'

enthält die zu untersuchenden Abbildungen und
vermeidet dadurch mehrfache Untersuchungen

Neuer Graphen-Matching-Algorithmus

Initialisiere P mit $p_{ij} := d(\mu_1(i), \mu_2(j))$

Initialisiere B' mit $b'_{ij} := 0$ für $i = 1, \dots, n$ und $j = 1, \dots, m$

SET Phase := 1

FOR $i = 1, \dots, n$

wähle kleinsten Wert p_{ix} aus Zeile i von P , *SET* $b'_{ix} := 1$

CALL MATCH(B')

SET Phase := 2

WHILE *Phase* < K

FOR $i = 1, \dots, n$

SET $B := B'$

FOR $j = 1, \dots, m$ *SET* $b'_{ij} := 0$

wähle kleinsten Wert p_{ix} mit $b_{ix} \neq 1$ aus Zeile i

SET $b'_{ix} := 1$, *SET* $b_{ix} := 1$

CALL MATCH(B')

SET $B' := B$

IF alle Elemente $b'_{ij} \in B'$ mit 1 markiert

THEN SET Phase := K

ELSE SET Phase := *Phase* + 1

$MATCH(B')$:

FOR ALL bijektive Knotenabbildung in B'

Berechne Matching-Fehler bzgl. der Knoten f_n

Berechne Matching-Fehler bzgl. entsprechender Kanten f_e

IF Matching-Fehler minimal

THEN speichere Bijektion

Beispiel

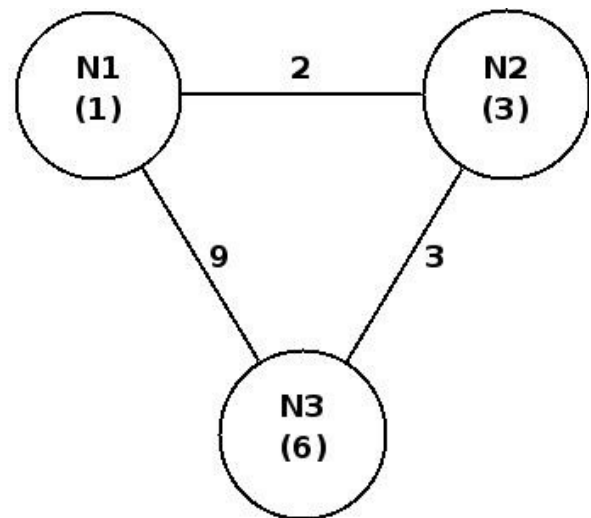
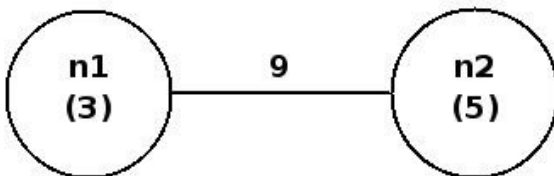


Abbildung 1: Beispiel-Graphen G_1, G_2

$$P := \begin{pmatrix} 2 & 0 & 3 \\ 4 & 2 & 1 \end{pmatrix}$$

$$B' := \begin{pmatrix} 0 & 0 & 0 \\ 0 & 0 & 0 \end{pmatrix}$$

Phase=1

$$i=1: \quad B' := \begin{pmatrix} \mathbf{0} & \mathbf{1} & \mathbf{0} \\ \mathbf{0} & \mathbf{0} & \mathbf{0} \end{pmatrix}$$

$$i=2: \quad B' := \begin{pmatrix} \mathbf{0} & \mathbf{1} & \mathbf{0} \\ \mathbf{0} & \mathbf{0} & \mathbf{1} \end{pmatrix}$$

MATCH(B'): Bijektion $b_1 = \{(n1 \rightarrow N2), (n2 \rightarrow N3)\}$
 $f_n = 0 + 1$
 $f_e = 6$
 $f = 7$ minimal, speichere b_1

Phase=2

$$i=1: \quad B := \begin{pmatrix} \mathbf{0} & \mathbf{1} & \mathbf{0} \\ \mathbf{0} & \mathbf{0} & \mathbf{1} \end{pmatrix}$$

$$j=1 \dots 3: B' := \begin{pmatrix} \mathbf{0} & \mathbf{0} & \mathbf{0} \\ \mathbf{0} & \mathbf{0} & \mathbf{1} \end{pmatrix}$$

$$B' := \begin{pmatrix} \mathbf{1} & \mathbf{0} & \mathbf{0} \\ \mathbf{0} & \mathbf{0} & \mathbf{1} \end{pmatrix}, \quad B := \begin{pmatrix} \mathbf{1} & \mathbf{1} & \mathbf{0} \\ \mathbf{0} & \mathbf{0} & \mathbf{1} \end{pmatrix}$$

MATCH(B'): $b_2 = \{(n1 \rightarrow N1), (n2 \rightarrow N3)\}$
 $f_n = 2 + 1$
 $f_e = 0$
 $f = 3$ minimal, speichere b_2

$$B' := \begin{pmatrix} \mathbf{1} & \mathbf{1} & \mathbf{0} \\ \mathbf{0} & \mathbf{0} & \mathbf{1} \end{pmatrix}$$

$$i=2: \quad B := \begin{pmatrix} \mathbf{1} & \mathbf{1} & \mathbf{0} \\ \mathbf{0} & \mathbf{0} & \mathbf{1} \end{pmatrix}$$

$$j=1 \dots 3: B' := \begin{pmatrix} \mathbf{1} & \mathbf{1} & \mathbf{0} \\ \mathbf{0} & \mathbf{0} & \mathbf{0} \end{pmatrix}$$

$$B' := \begin{pmatrix} \mathbf{1} & \mathbf{1} & \mathbf{0} \\ \mathbf{0} & \mathbf{1} & \mathbf{0} \end{pmatrix}, \quad B := \begin{pmatrix} \mathbf{1} & \mathbf{1} & \mathbf{0} \\ \mathbf{0} & \mathbf{1} & \mathbf{1} \end{pmatrix}$$

$$\begin{aligned} \text{MATCH}(B'): \quad b_3 &= \{(n1 \rightarrow N1), (n2 \rightarrow N2)\} \\ f_n &= 2 + 2 \\ f_e &= 7 \\ f &= 11 \text{ nicht minimal} \end{aligned}$$

$$\begin{aligned} b_4 &= \{(n1 \rightarrow N2), (n2 \rightarrow N2)\} \\ &\text{keine Bijektion} \end{aligned}$$

$$B' := \begin{pmatrix} \mathbf{1} & \mathbf{1} & \mathbf{0} \\ \mathbf{0} & \mathbf{1} & \mathbf{1} \end{pmatrix}$$

Ergebnis

$$b_2 = \{(n1 \rightarrow N1), (n2 \rightarrow N3)\} \text{ mit Matching-Fehler } f = 3$$

Komplexität

$O(n^2 K^n)$ Schritte zur Berechnung eines Matchings

- $O(n^2)$ Kanten in G_1
- K^n mögliche Knotenabbildungen

Vergleich mit anderen Matching-Algorithmen

- Fehlerkorrigierender Teilgraph-Isomorphismus-Algorithmus (A*) benötigt
 $O(n^2 m)$ im best case,
 $O(n^2 m^n)$ im worst case
- neuer Algorithmus benötigt $(m/K)^n$ Schritte weniger

Experiment mit 1000 zufällig erzeugten Graphenpaaren

Graphen mit jeweils 2 bis 10 Knoten

Anzahl der Phasen K	1	2	3	4	5	A*
optimale Knotenabbildungen	609	827	940	971	1000	1000
durchschnittliche Berechnungszeit in Sekunden	2	4	6	11	16	187

Tabelle 1: Vergleich beider Algorithmen; SUN workstation, Ultra 60, zwei 450MHz CPUs, 512MB Arbeitsspeicher

3. Finden von ähnlichen Bildern mit neuem Graphen-Matching-Algorithmus [HW02b]

Künstliche Datenbank mit Bildern

Jedes Bild besteht aus Objekten mit regelmäßigen Formen (Rechtecke, Quadrate, Dreiecke)

Zufällige Anzahl, Form, Farbe, Größe, Position der Objekte

Suchstrategie

gegeben: 1 Anfrage-Bild

gesucht: ähnliche Bilder aus der Datenbank (geringer Matching-Fehler)

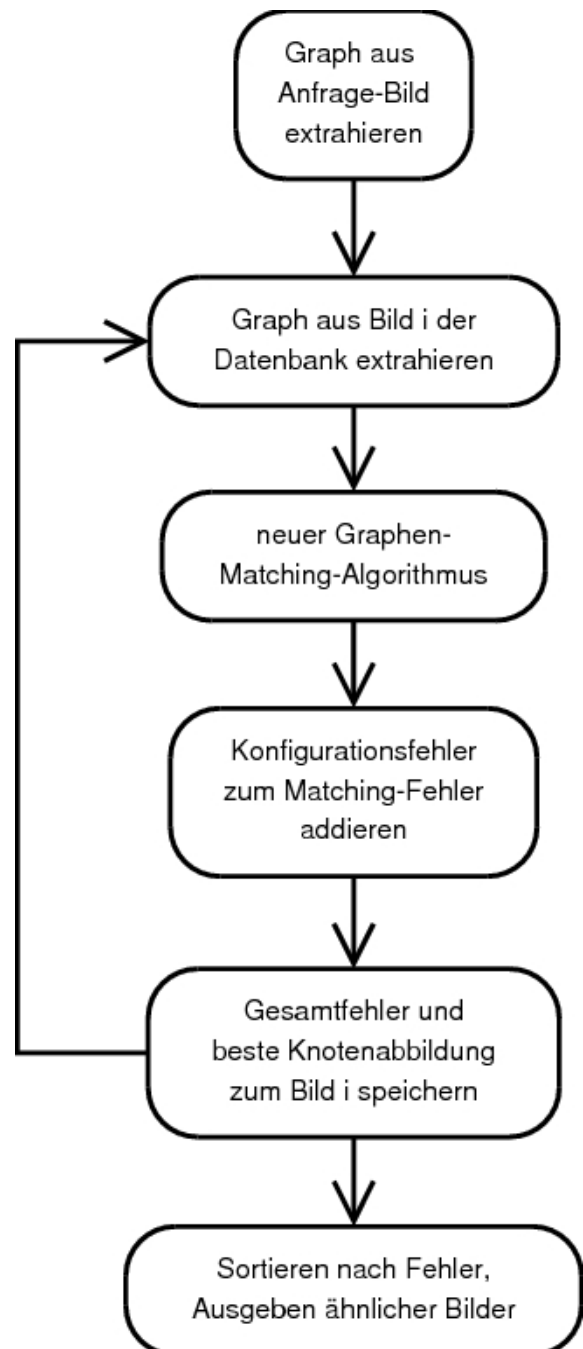


Abbildung 2: Flussdiagramm der Suchstrategie

Darstellung des Bildinhaltes durch Graphen (Schritt 1 und 2)

- Knoten stellen Objekte dar
Eigenschaften: Form, Größe, Farbe
- Kanten repräsentieren Beziehungen zwischen Objekten
Eigenschaften: Abstand, relative Position

Anpassung des Matching-Fehlers (Schritt 3)

- Knotenfehler f_n muss für jeden Knoten $v \in V_1$ durch mehrere Eigenschaften gewichtet werden:

$$\begin{aligned} f_n(v) = & c_{Form} \cdot e_{Form}(Form_{Anfrage}, Form_{DB}) \\ & + c_{Größe} \cdot e_{Größe}(Größe_{Anfrage}, Größe_{DB}) \\ & + c_{Farbe} \cdot e_{Farbe}(Farbe_{Anfrage}, Farbe_{DB}) \end{aligned}$$

- Kantenfehler für jede Kante $\epsilon \in E_1$ analog:

$$\begin{aligned} f_e(\epsilon) = & c_{Position} \cdot e_{Position}(Position_{Anfrage}, Position_{DB}) \\ & + c_{Abstand} \cdot e_{Abstand}(Abstand_{Anfrage}, Abstand_{DB}) \end{aligned}$$

- Koeffizienten zur Gewichtung bieten dem Nutzer Möglichkeiten zur Anpassung

$$c_{Form}, c_{Größe}, c_{Farbe}, c_{Position}, c_{Abstand}$$

$$e_{Form}(Form_{Anfrage}, Form_{DB}) = \begin{cases} 0 & \text{falls } Form_{Anfrage} = Form_{DB} \\ 1 & \text{sonst} \end{cases}$$

$$e_{Größe}(Größe_{Anfrage}, Größe_{DB}) = \frac{|Größe_{Anfrage} - Größe_{DB}|}{Größe_{Anfrage} + Größe_{DB}}$$

$$e_{Farbe}(Farbe_{Anfrage}, Farbe_{DB}) = \sqrt{\begin{aligned} & (Farbe \cdot L_{Anfrage} - Farbe \cdot L_{DB})^2 \\ & + (Farbe \cdot U_{Anfrage} - Farbe \cdot U_{DB})^2 \\ & + (Farbe \cdot V_{Anfrage} - Farbe \cdot V_{DB})^2 \end{aligned}}$$

unter Verwendung des CIE-L*u*v-Farbraums

$$e_{Position}(Position_{Anfrage}, Position_{DB}) = \begin{cases} 0 & \text{falls } Pos._{Anfrage} = Pos._{DB} \\ 1 & \text{sonst} \end{cases}$$

$$e_{Abstand}(Abstand_{Anfrage}, Abstand_{DB}) = \frac{|Abstand_{Anfrage} - Abstand_{DB}|}{Abstand_{Anfrage} + Abstand_{DB}}$$

Konfigurationsfehler (Schritt 4)

ähnliche Bilder mit ungleicher Anzahl von Objekten (Knoten)
oder Relationen über Objekten (Kanten)

$$f_{Konfig.} = c_{Konfig.} \cdot (|V_{Anfrage}| - |V_{DB}| + |E_{Anfrage}| - |E_{DB}|)$$

Gesamter Matching-Fehler

$$f = \sum_{v \in V_1} f_n(v) + \sum_{\epsilon \in E_1} f_e(\epsilon) + f_{Konfig.}$$

Experimentelle Ergebnisse

- Algorithmus findet tatsächlich ähnliche Bilder zum Bild der Anfrage
- Suchstrategie kann für verschiedene Anforderungen genutzt werden

Vorgehen

- Datenbank besteht aus 1000 Bildern
- Bilder bestehen aus je 2 bis 9 Objekten
- Bild der Anfrage ist nicht in der Datenbank enthalten

Suchstrategie bzgl. Formen

gesucht: - Bilder mit 3 Objekten

- Bilder sollen aus 2 Dreiecken und 1 Quadrat bestehen

Koeffizienten sind dementsprechend:

$$c_{Form} = 1, c_{Konfig.} = 1$$

$$c_{Größe} = 0, c_{Farbe} = 0, c_{Position} = 0, c_{Abstand} = 0$$

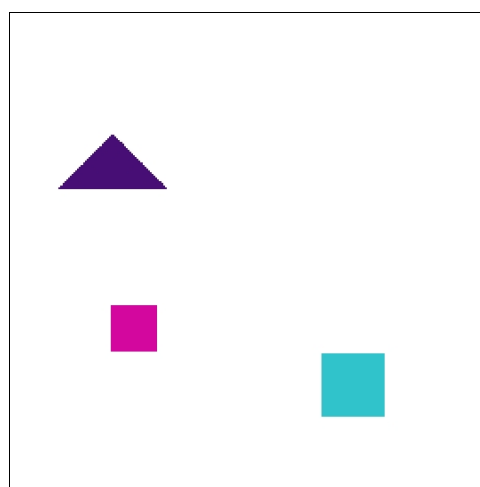
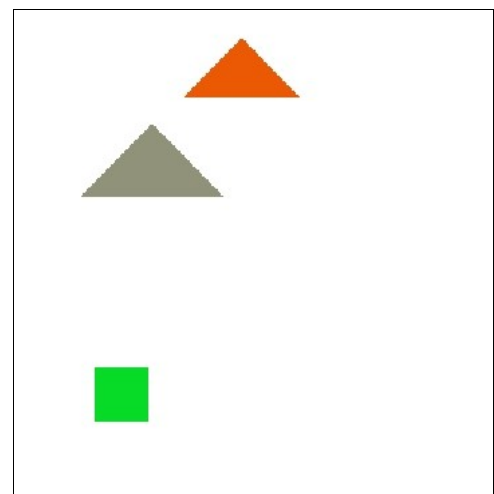
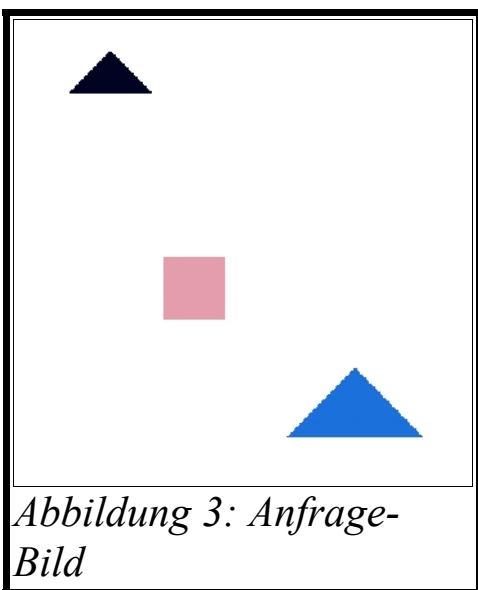


Abbildung 5: Bild aus DB, $f=1$, nur 2 Objekte haben die gleiche Form

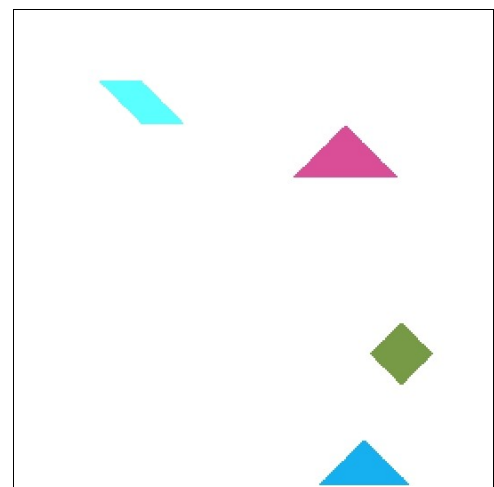


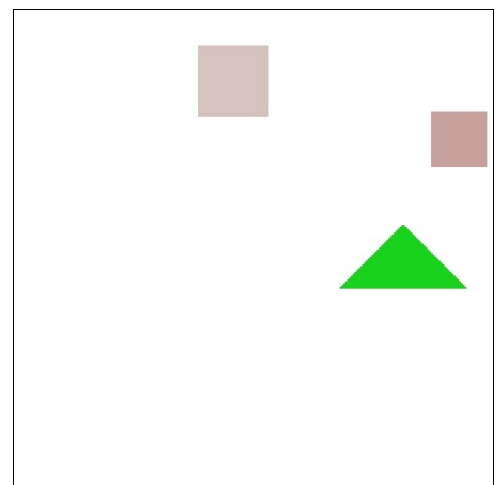
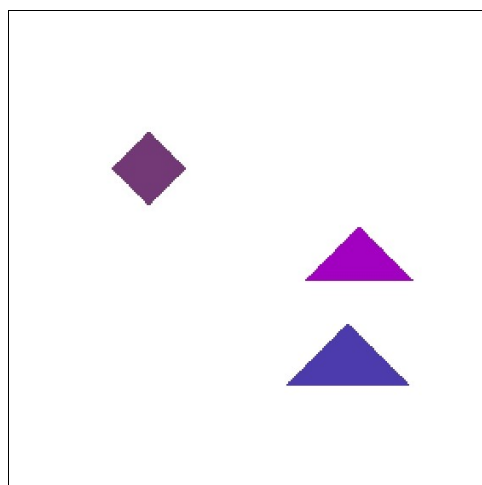
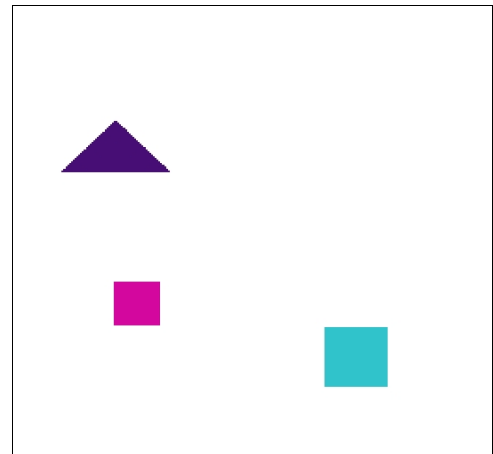
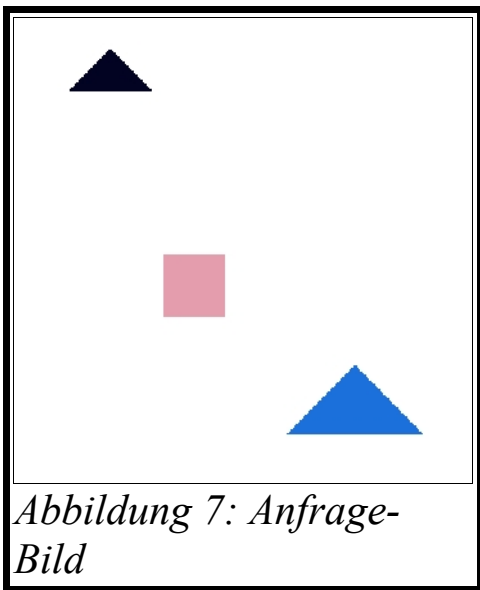
Abbildung 6: Bild aus DB, $f=5$, ein Objekt mehr als im Anfrage-Bild, nur 2 Objekte haben die gleiche Form

Suchstrategie bzgl. Formen und relativer Positionen

Anfrage-Bild unverändert

$$c_{Form} = 0,5, c_{Position} = 0,5, c_{Konfig.} = 1$$

$$c_{Größe} = 0, c_{Farbe} = 0, c_{Abstand} = 0$$



Zusammenfassung

- neuer Graphen-Matching-Algorithmus
- Suchprozess in K Phasen unterteilt
- die wahrscheinlich erfolgreichen Isomorphismen werden in den ersten Phasen untersucht
- in wenigen Phasen lassen sich gute (meist optimale) Abbildungen finden
- Laufzeit kann wesentlich kleiner sein als mit bisherigen Algorithmen
- Algorithmus kann zur inhaltsbasierten Bildsuche verwendet werden

Literatur

- [HW02a] Adel Hlaoui and Sengrui Wang. A New Algorithm for Inexact Graph Matching. In *ICPR (4)*, pages 180-183, 2002.
(<http://www.dmi.usherb.ca/~hlaoui/icpr2002.pdf> vom 22.11.2006)
- [HW02b] Adel Hlaoui and Shengrui Wang. A new algorithm for graph matching with application to content-based image retrieval. In Terry Caelli, Adnan Amin, Robert P. W. Duin, Mohamed S. Kamel, and Dick de Ridder, editors, *SSPR/SPR*, volume 2396 of *Lecture Notes in Computer Science*, pages 291–300. Springer, 2002.
(<http://www.dmi.usherb.ca/~hlaoui/sspr2002.pdf> vom 22.11.2006)
- [SW] Shengrui Wang. Contribution en appariement de graphe pour la reconnaissance de formes structurelles. Un nouvel algorithme pour l'appariement de graphe. Présentation:
(<http://www.dmi.usherb.ca/~hlaoui/these2.pdf> vom 22.11.2006)